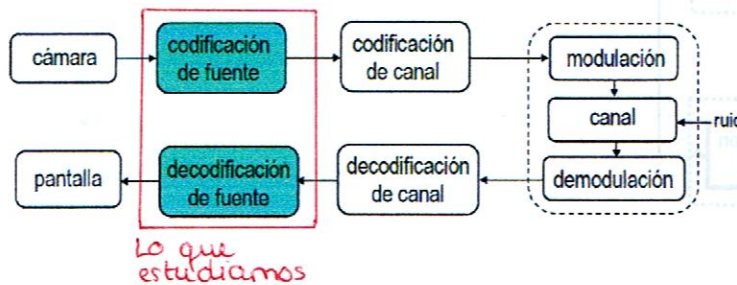


### PARTE 3. COMUNICACIONES VISUALES

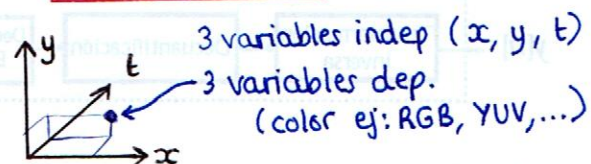
#### 1. INTRODUCCIÓN

##### Sistema de codificación digital



problema: tasas elevadas  
solución: compresión

##### Señal de video



YUV: y: luminosidad  
u,v: componentes de color

- mucho mejor adecuado al ojo humano que R, G, B

- se emplea en PAL (análogo)  $\begin{pmatrix} y \\ u \\ v \end{pmatrix} = \begin{pmatrix} 0.299 & 0.587 & 0.114 \\ -0.147 & -0.289 & 0.436 \\ 0.615 & -0.515 & -0.100 \end{pmatrix} \begin{pmatrix} R \\ G \\ B \end{pmatrix}$

##### Digitalización

$(x, y) \rightarrow N_x$  y  $N_y$  píxeles

$t \rightarrow f_T$  cuadros/s

color  $\rightarrow N_b$  bits/pixel



Tasa binaria total  $R = N_x N_y f_T N_b$  [bits/s]

- Norma ITU-R BT.601 → Digitalización de vídeo NTSC y PAL

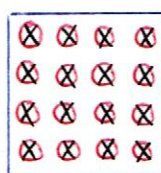
USA/Japón → 525/60 : 720 x 480 píxeles/cuadro, 30 cuadros/s  
Europa → 625/50 : 720 x 576 píxeles/cuadro, 25 cuadros/s → misma tasa de píxeles/s  
En ambos:  $N_b = 8$  bits/pixel

##### Color (Y, Cb, Cr)

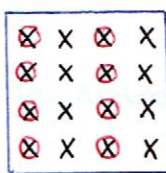
$$\begin{pmatrix} Y \\ Cb \\ Cr \end{pmatrix} = \begin{pmatrix} 0.257 & 0.504 & 0.098 \\ -0.148 & -0.291 & 0.439 \\ 0.439 & -0.368 & -0.071 \end{pmatrix} \begin{pmatrix} R \\ G \\ B \end{pmatrix} + \begin{pmatrix} 16 \\ 128 \\ 128 \end{pmatrix} \rightarrow Y \in [16, 240] \leftarrow \text{valores límite para sinc} \\ \rightarrow Cb, Cr > 0 \leftarrow \text{facilita almacenar}$$

- Muestreo de la crominancia: ( $X$  = muestra Y       $O$  = muestra Cb, Cr)

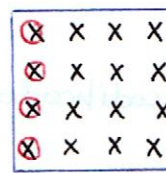
4 : 4 : 4



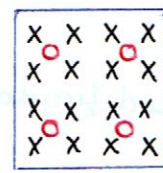
4 : 2 : 2



4 : 1 : 1



4 : 2 : 0



el que más se usa en aplicaciones habituales  
TDT, DivX, MPEG2, ...

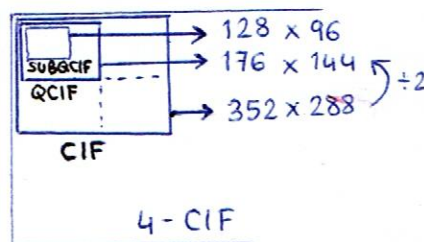
- CIF, QCIF, SubQCIF (Common intermediate format)

Formato común para videoconferencia USA/Europa

y Resolución horizontal:  $720 \xrightarrow{\div 2} 360 \rightarrow 352$  (múltiplo de 16)  
Resolución vertical:  $576 \xrightarrow{\div 2} 288$  } los mejores valores  
Resolución temporal: 30 Hz } de cada uno

Cb  
Cr  
4:2:0

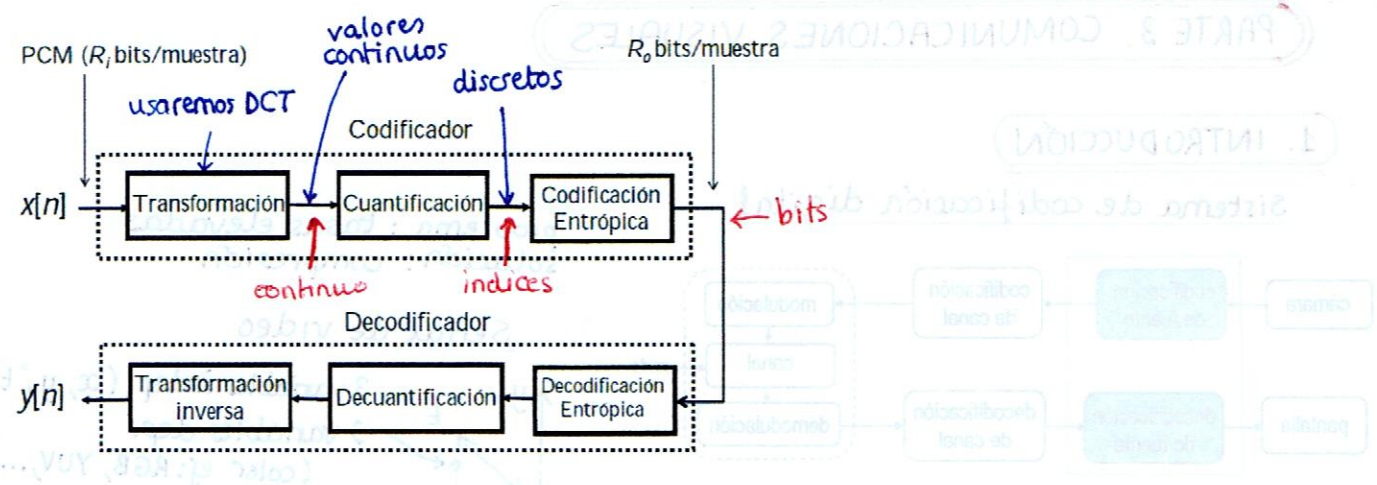
Y



SUBQCIF  
QCIF  
CIF

4-CIF

## Codificación de forma de onda



### Parámetros de la compresión

- tasa o factor de compresión
- distorsión / calidad
- retardo o latencia → es importante (ej. videoconferencia) o no (ej. película, TDT, ... ) según la aplicación

### Medida de la distorsión

- Medidas objetivas:

$$MSE = \frac{1}{M} \sum (y[n] - x[n])^2$$

$$SNR = 10 \log \frac{P_x}{MSE}$$

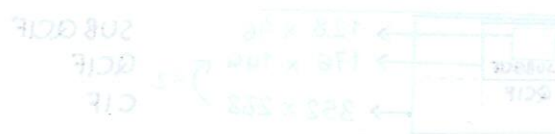
$$PSNR = 10 \log \frac{255^2}{MSE}$$

- Medidas subjetivas:

Puntuación de opinión media (MOS)

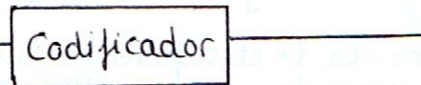
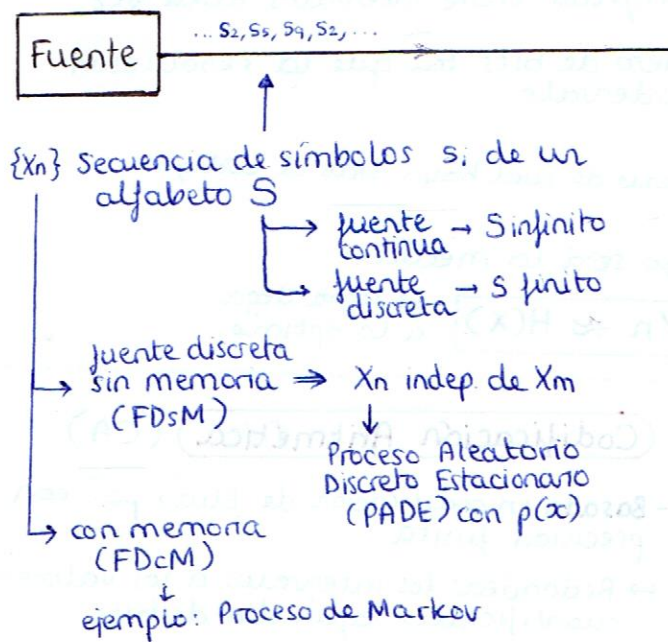
### Complejidad

simetría codificador/decodificador con/sin pérdidas



## 2. CODIFICACIÓN ENTRÓPICA

Transformar índices k en bits para minimizar la tasa



Si	Ci
a	01
b	11011
:	:

CÓDIGO: (la tabla) correspondencia Si  $\leftrightarrow$  Ci

alfabeto del código

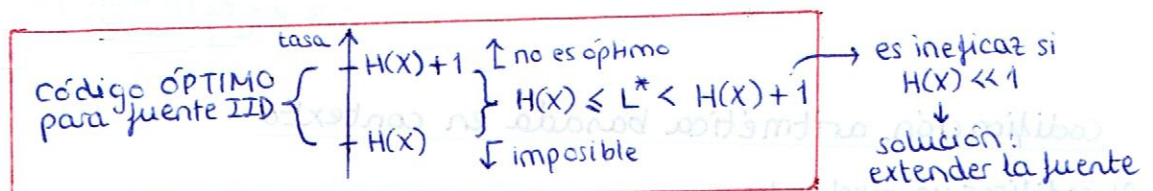
Longitud media (tasa) de un código:

$$L = \sum_{i=1}^{|S|} p(s_i) \cdot l_i$$

Código instantáneo  $\Leftrightarrow$  Ninguna palabra es prefijo de otra

### Códigos óptimos

- No se puede codificar X sin error a una tasa  $R < H(X)$



Es ineficaz si  $H(X) \ll 1$   
Solución: extensión de fuente orden M

$$H(X) \leq L^* < H(X) + \frac{1}{M}$$

si  $M \rightarrow \infty$   
 $L^* \rightarrow H(X)$   
Problema:  $|S|^M$  palabras

### Códigos Huffman

p(si)	Si
0.425	s5 → 0
0.325	s3 → 01
0.125	s6 → 00d
0.075	s1 → 000g
0.040	s2 → 00001
0.010	s4 → 00000

ordenar por probabilidad ↑

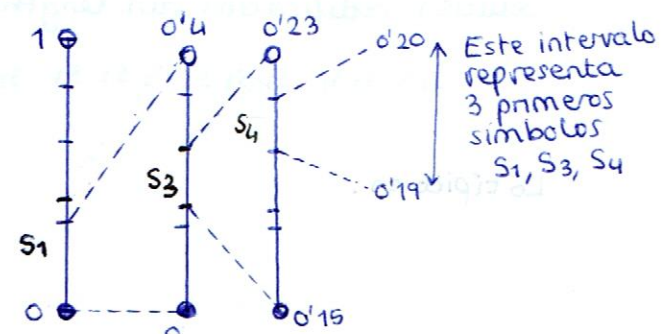
si  $p(s_i) < p(s_j)$   
 $l_i \leq l_j$

igual long.  
diferen  
en ultimo bit

Lo típico es:

- codificador simple  $\rightarrow$  usar Huffman
- codificador puede permitir complejidad  $\rightarrow$  usar codificación aritmética

ejemplo:



### Codificación de Elías

- irrealizable en la práctica
- En el paso i se tiene el intervalo  $[C_i, C_{i+1})$
- $C_i = s_1, s_2, s_3, s_4, C_{i+1}$
- $a_i \cdot p(s_i), p(s_2), p(s_3), p(s_4)$
- $C_i + a_i \cdot F(s_i), F(s_2) + F(s_3)$
- se divide en subintervalos proporcionales a la probabilidad de cada símbolo.

El símbolo Si determina que subintervalo escoger para el paso i+1



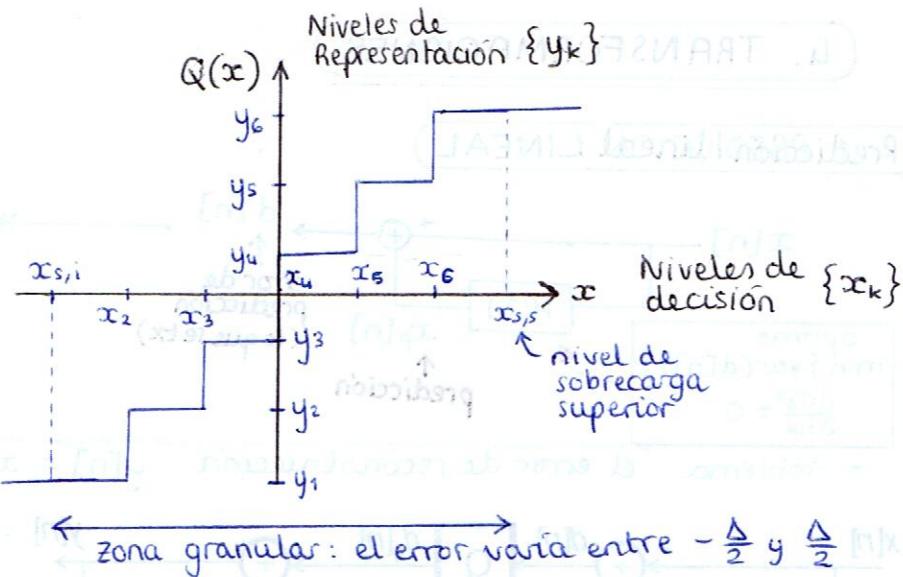
### 3. CUANTIFICACIÓN

Discretizar una fuente continua

$$x \xrightarrow{Q} k$$

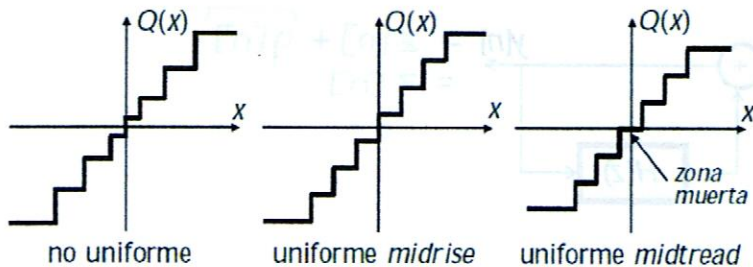
continuo      índices

- La cuantificación es un proceso NO REVERSIBLE
  - La codificación entropica siempre es reversible
  - La transformación es reversible (si utiliza precisión infinita)

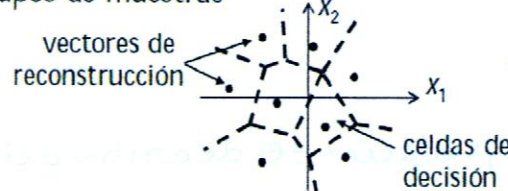


#### Tipos de cuantificación

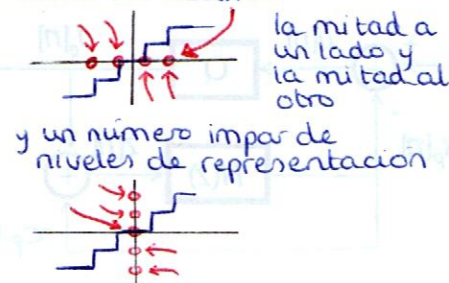
- Escalares: cuantifican cada muestra individualmente



- Vectoriales: cuantifican grupos de muestras



Midtread tiene un nº PAR de niveles de DECISION



Ventajas:

ej: en lugar de cuantificar por separado peso y altura de la gente, cuantificar a la vez para centrarse en zonas frecuentes

#### Tasa fija/variable

- Cuantificador de tasa fija: CLF:  $R = \lceil \log_2 N \rceil$  ← interesante si los niveles son equiprobables
- Cuantificador de tasa variable: CLV

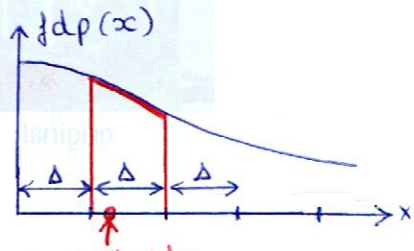
Suponiendo que  $R \approx H(Y)$ : obtener los  $\{x_k, y_k\}$  que  $\min E[(x-y)^2]$

- El uniforme con  $N=\infty$  es óptimo para altas tasas
- A bajas tasas, el uniforme no es óptimo, pero:

→ Cuantificador casi-óptimo:  
intervalos de decisión uniformes  $\Delta$   
con niveles de reconstrucción en centroide

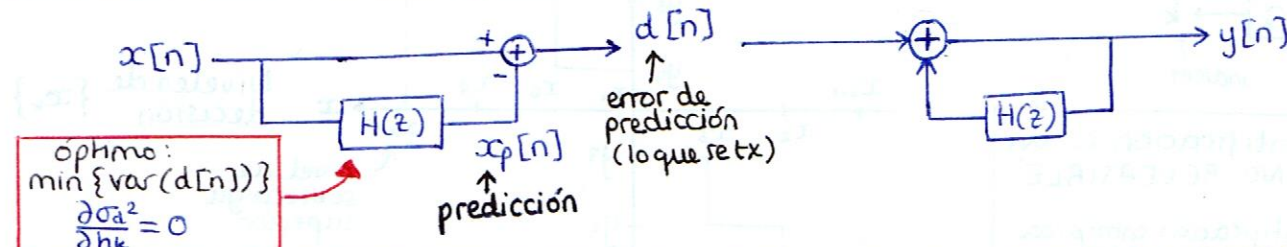
valor medio de la variable en el intervalo

- Si  $f_{dp}(x)$  nula, a menudo mejora si se amplia el intervalo en cero (zona muerta)  
índice más probable → baja entropía de la fuente

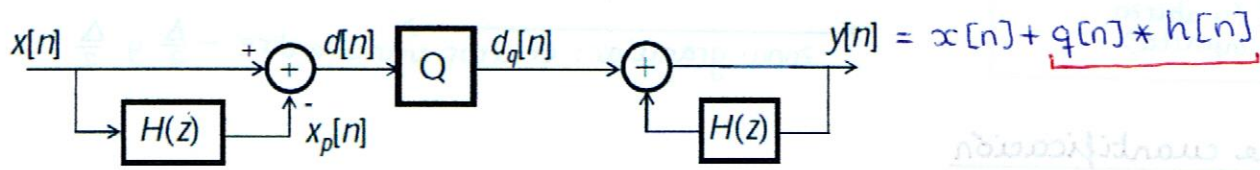


## 4. TRANSFORMACIONES

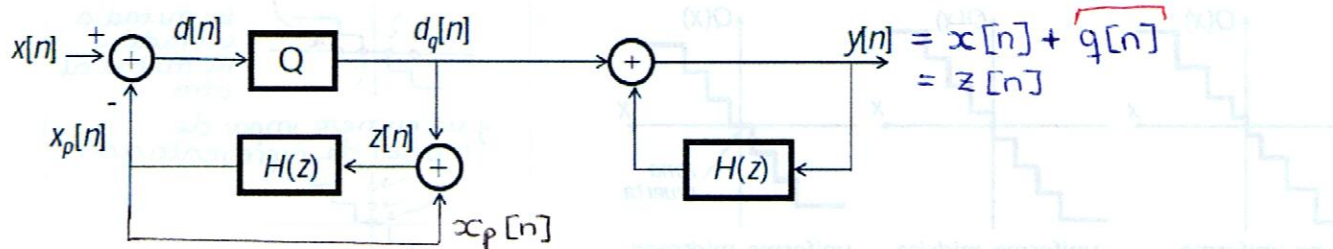
### 4.1 PREDICCIÓN LINEAL



- Problema: el error de reconstrucción



Solución: predicción en bucle cerrado



### Predicción conmutada

¿Qué pixel empleamos para predecir? el de arriba o el de la izquierda?

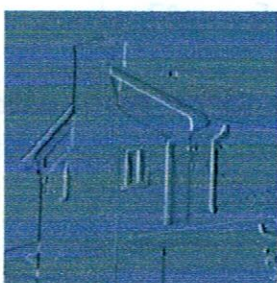
- Predicción adaptativa (coeficientes óptimos)

- Predicción conmutada

$$x_p = \begin{cases} x_C, & \text{si } |x_C - x_A| < |x_B - x_A| \\ x_B, & \text{si } |x_C - x_A| \geq |x_B - x_A| \end{cases}$$



original

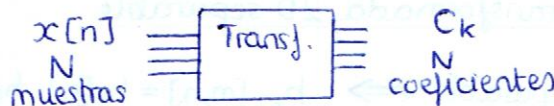


error ( $x_p = x_B$ )



error (p. conmutada)

## 4.2 TRANSFORMADAS DE BLOQUE 1D



Si funciones base ortonormales, la energía puede calcularse tanto en tiempo como en frecuencia:

$$\sum_{k=0}^{N-1} |C_k|^2 = \sum_{n=0}^{N-1} |x[n]|^2$$

$$x[n] = \sum_{k=0}^{N-1} C_k \cdot b_k[n]$$

funciones base

$$C_k = \sum_{n=0}^{N-1} x[n] \cdot \frac{b_k[n]}{\sqrt{D_k}}$$

no está conjugado porque suponemos coef. reales

conjunto ortogonal

$$\sum_{n=0}^{N-1} b_k[n] \cdot b_l[n] = D_k \delta_{kl}$$

ortonormal si  $D_k = 1$

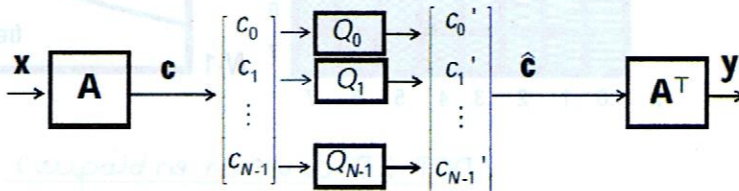
Además, matricialmente

$$\underline{C} = \underline{B} \cdot \underline{x}$$

$$\underline{x} = \underline{B}^T \cdot \underline{C}$$

con  $\underline{B} = \begin{bmatrix} b_0[0] & b_1[0] & \dots & b_{N-1}[0] \\ b_0[1] & & & \\ \vdots & & & \\ b_0[N-1] & & & \end{bmatrix}$

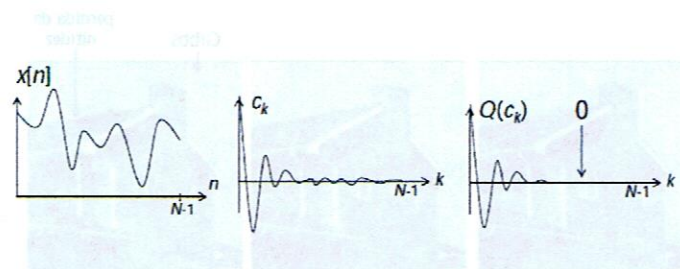
- CODEC: podemos codificar cada coeficiente frecuencial con cuantif. distinto



• Posible gracias a la decorrelación entre coeficientes

### Compactación de la energía

- La energía se concentra en los coeficientes de baja frecuencia
- coef. de alta freq. tienen valores muy pequeños
- Pueden anularse, introduciendo un error pequeño



### Ejemplos de Transformadas

Criterios: compactación energía, decorrelación, coste

Adaptativas: Karhunen-Loeve (KLT)

→ Es la transformada óptima  
cambia para cada imagen  
Elevado coste

Fijas:

- Haar (HT)
- DFT
- Walsh Hadamard (DWHT)
- Discrete Cosine Transform (DCT)

Baja complejidad  
Sólo son sumas y restas

$$A_{2 \times 2} = \frac{1}{\sqrt{2}} \begin{bmatrix} 1 & 1 \\ 1 & -1 \end{bmatrix} \quad A_{N \times N} = \frac{1}{\sqrt{2}} \begin{bmatrix} A[N/2] & A[N/2] \\ A[N/2] & -A[N/2] \end{bmatrix}$$

$$C_k = \sqrt{\frac{2}{N}} x_k \sum_{n=0}^{N-1} x[n] \cdot \cos \frac{(2n+1)k\pi}{2N}$$

$$x[n] = \sqrt{\frac{2}{N}} x_k \sum_{k=0}^{N-1} C_k \cdot \cos \frac{(2n+1)k\pi}{2N}$$

$$x_k = \begin{cases} 1 & \text{si } k \neq 0 \\ \frac{1}{\sqrt{2}} & \text{si } k = 0 \end{cases}$$

- Tiene algoritmo rápido
- Es óptima si  $x[n]$  es un AR(1) con  $\rho \rightarrow 1$

AR(1) puede modelarse como ruido blanco pasado por filtro todo polos con único polo

$$y[n] = b_0 x[n] + a_1 y[n-1] \rightarrow H(z) = \frac{b_0}{1-a_1}$$

$$\rho = \frac{R_{xx}[0]}{R_{xx}[1]} = 1$$

• Se usa en JPEG, H.26x, MPEGx

## 4.3 TRANSFORMADAS DE BLOQUE 2D

### • Transformada 2D

$$c_{k,l} = \sum_{n=0}^{N-1} \sum_{m=0}^{N-1} x[n,m] b_{k,l}[n,m]$$

$$x[n,m] = \sum_{k=0}^{N-1} \sum_{l=0}^{N-1} c_{k,l} b_{k,l}[n,m]$$

Luminosidad  
27.06.13

### • Transformada 2D separable

$$\text{Separable} \Leftrightarrow b_{k,l}[m,n] = b_k[n] \cdot b_l[m]$$

Menor coste

$$O(N^4) \rightarrow O(N^3)$$

cada uno de los  $N \times N$   
coeficientes requiere  
 $N \times N$  productos

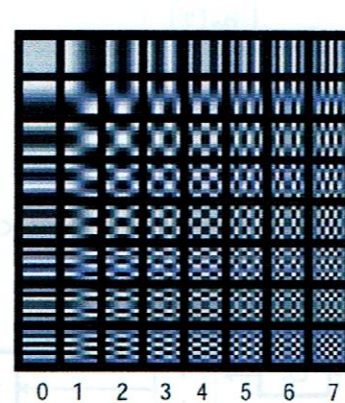
se puede aplicar  
primero a las  
filas y luego  
a las columnas

### • DCT - 2D

$$b_{k,l}[n,m] = b_k[n] \cdot b_l[m]$$

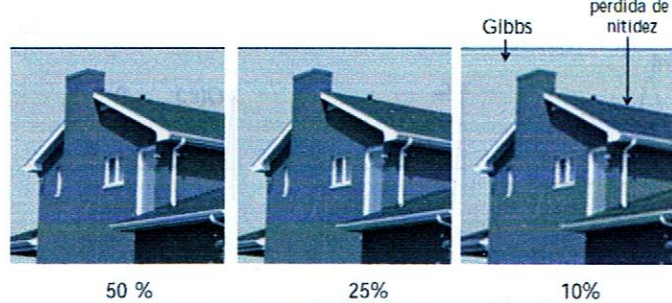


$$b_k[n] = \sqrt{\frac{2}{N}} \alpha_k \cos \frac{(2n+1)k\pi}{2N}$$



DCT-2D

### • Compactación de la energía



### DCT-2D división en bloques

Se divide la imagen en bloques de  $N \times N$  pixels ( $N=8$ ) para menor complejidad / memoria

- N mayores no mejoran la compactación significativamente

Problema: A bajas tasas efecto de bloques

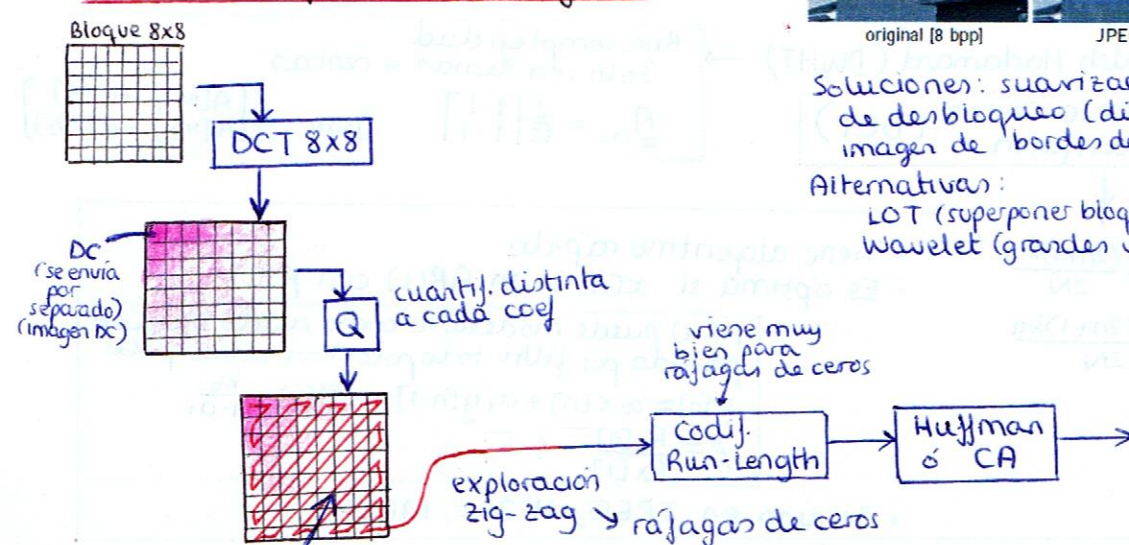
- Discontinuidades en los bordes de los bloques
- Alta visibilidad



Soluciones: suavizado local, algoritmos de desbloqueo (distinguir bordes de la imagen de bordes de bloques)

Alternativas:

LOT (superponer bloques  $16 \times 16$  aunque se calculan  $8 \times 8$ )  
Wavelet (grandes ventajas) (JPEG 2000)



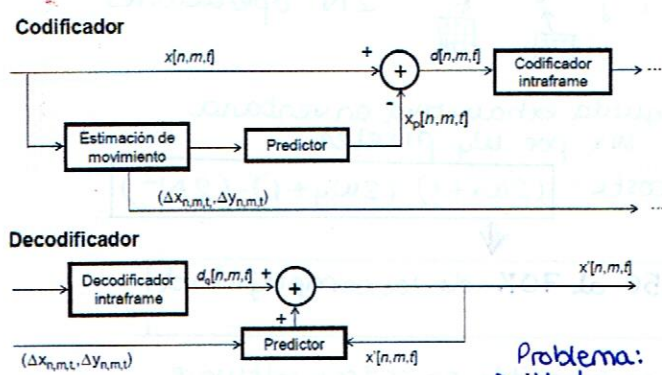
## PARTE 4. COMPRESIÓN DE VÍDEO

- Ya hemos hablado de redundancia dentro de un mismo cuadro (**intra-frame**)
- Ahora hay que eliminar la redundancia temporal
  - ↳ Transformadas 3D (DCT-3D y Wavelet-3D) → está de moda
  - ↳ Esquema híbrido
    - 1) Predicción compensada en movimiento  $x_p[n,m,t] = x[n+\Delta x, m+\Delta y, t-\Delta t]$
    - 2) Error de predicción  $d[n,m,t] = x - x_p$
    - 3) Codificación intraframe del error de predicción

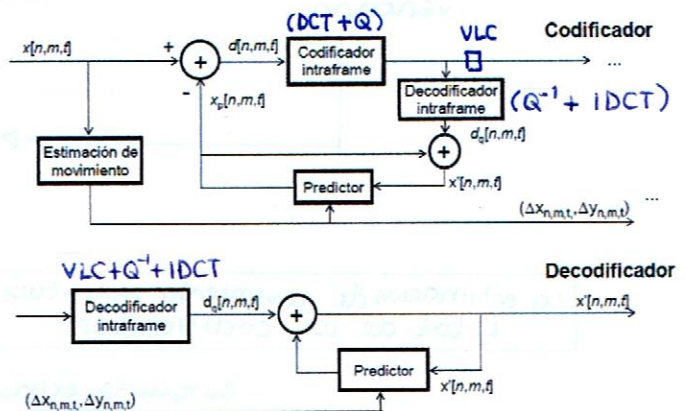
### 4.1 ESTIMACIÓN DE MOVIMIENTO

- Gran redundancia temporal en la señal de video
  - movimiento de objetos y cámara: fácil
  - regiones descubiertas y cambio de luminosidad: fastidioso

#### Codec híbrido con bucle abierto:



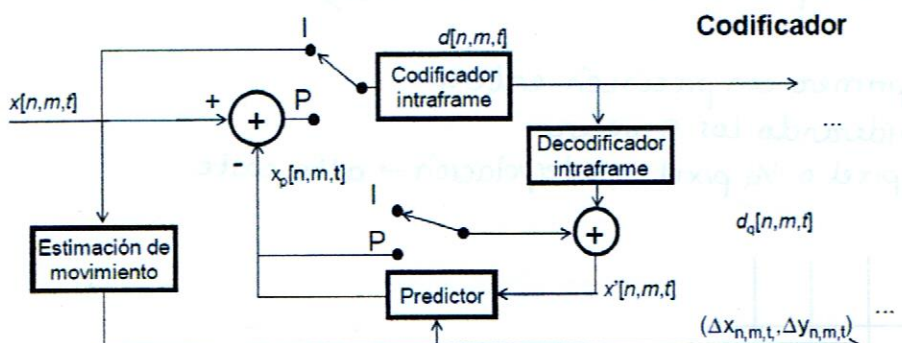
#### Codec híbrido en bucle cerrado:



- El decodificador usa la misma info que el codificador para predecir
- El codificador INCLUYE un decodificador (con todo excepto el codificación códigos de long. variable VLC que no tiene pérdida)

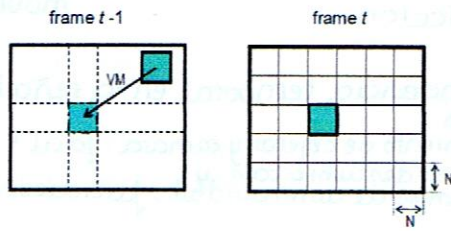
#### Cuadros Intra(I) e Inter(P)

- ↳ dependen de cuadros anteriores
  - ↳ sólo codificación intraframe: resetear la predicción
  - ventajas: inmunidad a errores de tx, acceso aleatorio
- ... I P P P P P P P I P P P P P P P P ...



## Block Matching Algorithm (BMA)

- Se divide el frame actual en bloques de  $N \times N$  píxeles,
- Para cada bloque se busca el vector de movimiento (VM) que lleva a un grupo de  $N \times N$  píxeles con gran parecido al bloque actual en el frame anterior



Búsqueda exhaustiva: coste  $4^N$   
Solución: limitarse a una ventana

medida de la semejanza entre dos bloques:

SAD (Sum of Absolute Differences)

$$SAD = \sum_{i=1}^{N^2} \sum_{j=1}^{N^2} |f_{ij} - g_{ij}|$$

coste:

$2N^2$  operaciones

Búsqueda exhaustiva en ventana de  $w_x \times w_y$  píxeles

$$\text{coste: } (2w_x+1) \cdot (2w_y+1) \cdot (2N^2)$$

La estimación de movimiento constituye del 50 al 70% de la complejidad total de un codificador

- Búsqueda exhaustiva no asumible en codecs software
- Algoritmos de EM rápidos (subóptimos)

### • Estimación de movimiento (EM) subpixel

Los vectores de movimiento (VM) reales no están limitados a la rejilla de píxeles, por tanto la EM será más precisa si se estiman los VM con precisión fraccionaria

Nota: a veces se calcula en el dominio transformado SADD

precisión  $1/2 \rightarrow$  ganancia significativa

$1/4 \rightarrow$  ganancia moderada ← últimos codecs usan  $1/4$  en luminancia (lo que supone  $1/8$  en crominancia)

$1/8 \rightarrow$  ganancia menor

→ Solución 1:

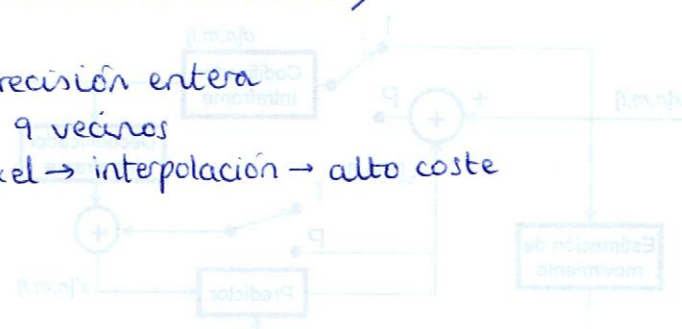
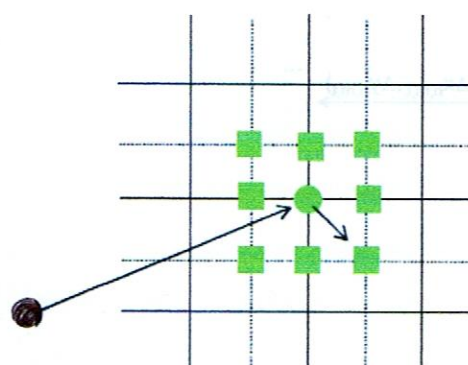
• Interpolar píxeles por M (aumenta memoria)

→ Solución 2:

• Estimar VM primero con precisión entera

• Refinar considerando los 9 vecinos

↳ a  $1/2$  pixel o  $1/4$  pixel → interpolación → alto coste



$N \times N$  grande ej  $16 \times 16$   
• tiene más error de predicción a tx

$N \times N$  pequeño ej  $4 \times 4$   
• error de predicción muy bajo

• Debe tx muchos vectores de movimiento (uno por bloque)  
¿merece la pena?

Lo ideal es cambiar dinámicamente el tamaño de bloque (codif. última generación)

## 4.2 ESTÁNDARES DE VÍDEO

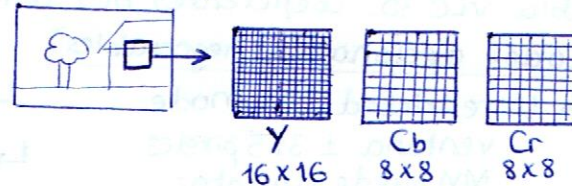
### H.261

- Estandar ITU (1990)
- Videoconferencia por RDSI  
tasa  $p \times 64 \text{ kbps}$
- $\uparrow p = 1, 2, \dots, 30$
- entretejido

- Formatos: CIF y QCIF (4:2:0)
- Esquema: DCT + predicción compensada en movimiento (opcional)
- Imágenes Intra (I) e Inter (P)
- Compresión intra-frame:  
DCT(8x8) + Q uniforme + Zigzag + Runlength + VLC

Predicción:

- Cada frame se divide en Macro Bloques (MB)



- Un vector de movimiento para cada MB
- $\uparrow$  precisión: 1 pixel
- $\uparrow$  ventana: +/- 16 pixeles

- Codificación diferencial de los VM

- Filtro de bucle: la imagen que se utiliza para predecir es la filtrada tanto en codif. como decodif. Trata de eliminar bordes de bloques para una mejor predicción (que no aparezcan los bordes translados por el VM)
- Empeora matemáticamente la SNR pero mejora la calidad subjetiva

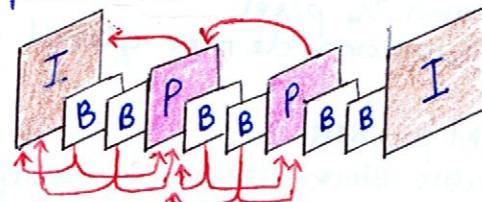
### MPEG-1 También Llamado Video CD (VCD)

- Estandar ISO-IEC (1991)
- Objetivo: CD-ROM ~ 1 película (sustituir VHS  $\rightarrow$  cintas)
  - $\uparrow$  necesita acceso aleatorio
  - $\uparrow$  pasar rápido, etc,...
- Formato:
  - no entretejido
  - CIF  $\rightarrow$  linea similar a VHS
  - 24...30 fps

- Imágenes I, P y Bidireccionales (B)
- Predicción compensada en movimiento:
  - 1 vector por MB en P
  - 1 ó 2 vectores por MB en B
    - $\uparrow$  anterior y siguiente
  - Precisión 1/2 pixel (interpolación)
  - Codif. diferencial de las componentes
  - NO incluye filtro de bucle (H.261 y H.264 sí)

#### Imágenes B

- Utilizan un VM para imagen I o P anterior y otro para imagen I o P posterior por cada MB (ponderado según distancia temporal)
- Las imágenes B NO se usan para predicción



### MPEG-2 $\rightarrow$ ej: TDT, HDTV, DVD

- Estandar ISO-IEC (1991-97)
- Objetivo: radiodifusión TV estándar y HDTV
- Multiplex: varios programas simultáneos  $\rightarrow$  suaviza la tasa
- Capacidad para manejar video entretejido
- Tasas 2 a 15 Mb/s (DVD bueno 8 Mb/s)
- Escalabilidad: La calidad va por capas para que bajas capas se ajusten a usuarios de baja tasa
  - escalabilidad de resolución
  - escalabilidad temporal
  - escalabilidad de SNR

- **H. 263** Muy bajas tasas, videotelefonía móvil actual
  - 5 formatos (subQCIF, QCIF, CIF, 4CIF, 16CIF)
  - Estandar ITU (1995) logra tasa ~30% que MPEG-1
  - Compensación de movimiento:
    - 1 VM por MB - máximo desplazamiento  $\pm 16$  pixels
    - $\frac{1}{2}$  pixel - sin filtro de bucle
  - Tabla VLC 3D, coeficientes DCT con (lant-run-level) → bit indica si es el último par de un bloque
  - **Modos opcionales (negociables)**
    - ↳ Unrestricted VM mode
      - ventana  $\pm 31'5$  pixeles
      - VM puede apuntar FUERA de la imagen
    - ↳ Arithmetic Coding Mode
    - ↳ Advanced Prediction Mode
      - 4 VM por MB
      - Overlapped Motion compensation
      - VM pueden apuntar fuera de imagen
    - ↳ PB-Frame Mode
      - imágenes B codificadas indisolublemente junto a las P en la trama
- **MPEG-4**
  - Cine, TV, internet, videotelefonía
  - ej: DIVX, XviD
  - Estándar ISO-IEC (1998)
  - Objetivo: todo (gran rango de aplicaciones)
    - ↳ video progresivo y entrelazado
    - Formatos: 4:2:0, 4:2:2, 4:4:4
    - Alta compresión, escalabilidad, robustez frente a errores
  - Compensación de movimiento
    - Precision  $\frac{1}{4}$  pixel
    - Compensación de mor. global (util en panning o tilt de toda la imagen) (vector global que se suma a los de cada bloque)
    - 4 VM por MB (Variable Block Size Motion Compensation)
  - **Objetos de video**
    - Segmentación en objetos de video
    - VOP (video object plane)
      - = VO en un cierto instante

δ MPEG-4 part 10

ó H.264

H.263 → H.263+ → H.263++ → H.264

ITU-T : VCEG (Video Coding Experts Group)

ISO : MPEG (Motion Picture Expert Group)

Joint Video Team  
2001

- Todo tipo de aplicaciones (permite video entrelazado)
- Significativa mejora de la eficiencia de codificación

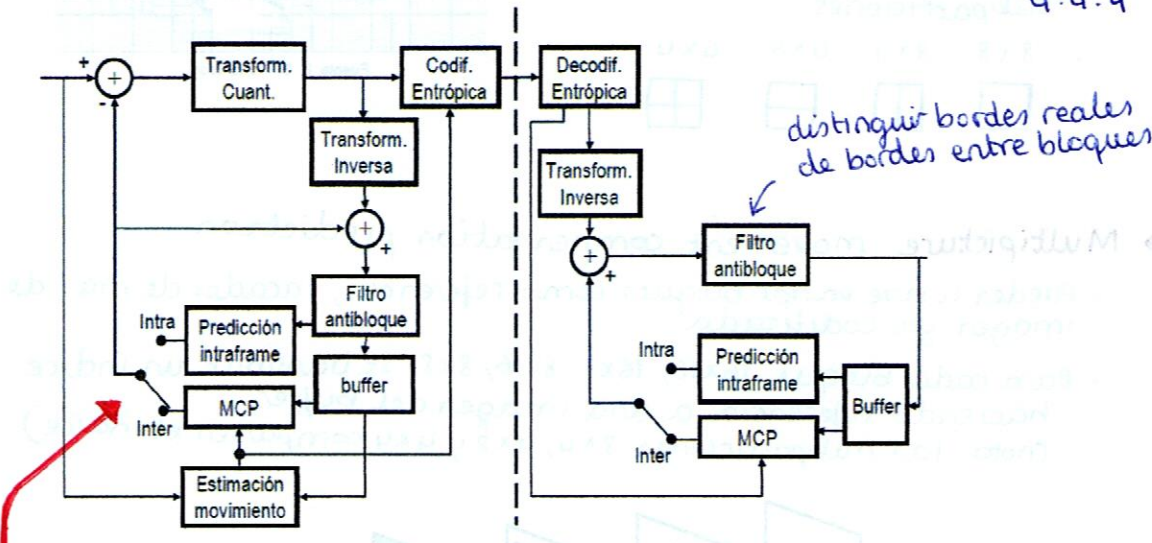
### - Diagrama de bloques

Generalidades:

YUV muestreo 4:2:0

4:2:2

4:4:4



SIEMPRE se hace predicción

↳ Imágenes Inter: Predicción con compensación de movimiento  
↳ como siempre pero nuevas caras: Tree-structured skip

pag  
detras

↳ Imágenes Intra: Predicción espacial (nuevo en este estándar!!)  
además de las transformadas de siempre (mejoradas)

### - Predicción Intra (redundancia espacial)

Dos tipos:

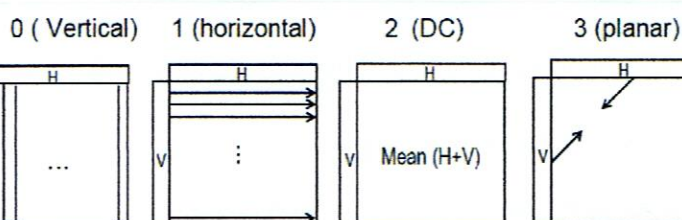
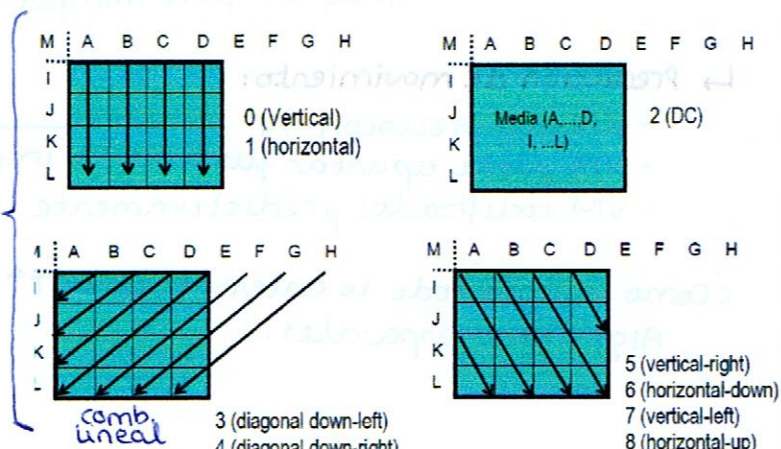
#### ↳ Intra 4x4 (Luma)

- El MB se divide en 16 subbloques 4x4
- Predicción de pixeles ya codificados → 8 modos

(El estándar PERMITE todo esto, pero no especifica cuando usarlo)

#### ↳ Intra 16x16 (Luma)

↳ todo el MB  
↳ 4 modos



La croma Cb y Cr hacen algo similar al 16x16

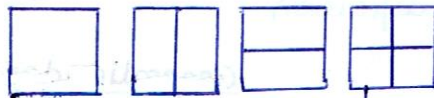
Planar: función lineal entre muestras de H y V

## - Predicción imágenes Inter (Frames Tipo P)

### ↳ Tree structured movement compensation

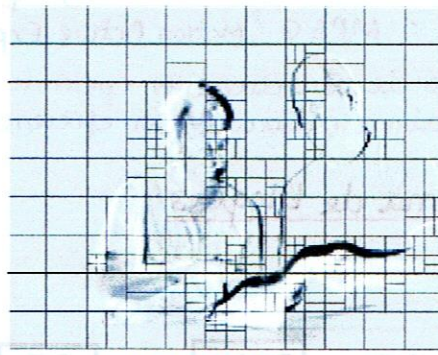
- Partir MB en

$16 \times 16$     $16 \times 8$     $8 \times 16$     $8 \times 8$



- A su vez el  $8 \times 8$  puede tener subparticiones:

$8 \times 8$     $8 \times 4$     $4 \times 8$     $4 \times 4$

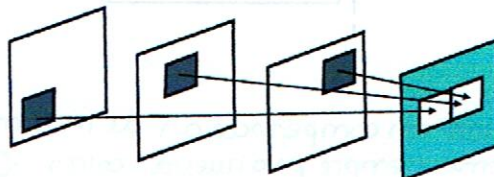


Predicción de movimiento de bloques con tamaño adaptativo

Fuente: E. G. Richardson

### ↳ Multipicture movement compensation prediction

- Pueden usarse varios bloques como referencia, sacados de más de una imagen ya codificada
- Para cada bloque  $16 \times 16$ ,  $16 \times 8$ ,  $8 \times 16$ ,  $8 \times 8$  se transmite un índice haciendo referencia a una imagen del buffer (nota: las subparticiones  $8 \times 4$ ,  $4 \times 8$  y  $4 \times 4$  comparten el índice)



- Permite predicción ponderada (muy útil para fundidos de una imagen a otra)

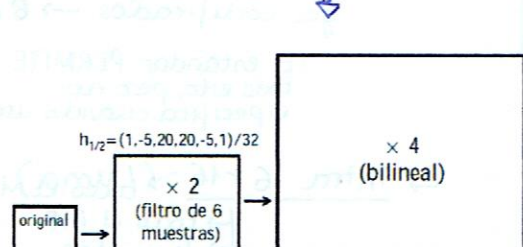
### ↳ Modo skip: se envía sólo el VM, no el error de predicción, de forma que el bloque se copia directamente del origen (muy útil para imágenes quieta o barrido)

### ↳ Predicción de movimiento:

- VM con precisión  $\frac{1}{4}$
- VM puede apuntar fuera de la imagen (extrapolación)
- VM codificados predictivamente

¿Cómo se logra todo lo anterior? Corte ↑↑

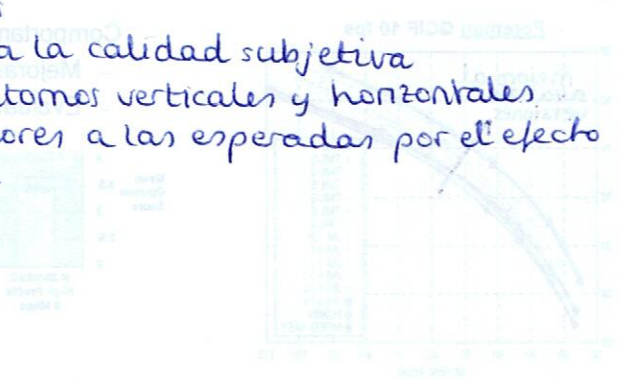
Algoritmos especiales:



Basado: Fundación Telefónica en sus materiales de enseñanza

## • AVC: Filtro antibloque → reduce tasa 5-10%

- Se aplica a los MB decodificados
- Reduce el efecto de bloques, mejora la calidad subjetiva
- Se aplica exclusivamente sobre contornos verticales y horizontales
- Si la frontera tiene diferencias mayores a las esperadas por el efecto de bloques, no se filtra la frontera



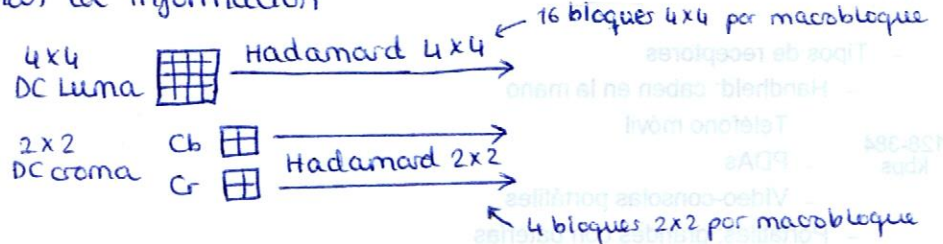
- Codificación de residuos → error de predicción → transformada → zig-zag + codificación entropíca de los coeficientes

Transformada de bloques:

- Se usa similar a la DCT 4x4
 
$$H = \begin{bmatrix} 1 & 1 & 1 & 1 \\ 2 & 1 & -1 & -2 \\ 1 & -1 & -1 & 1 \\ 1 & -2 & 2 & -1 \end{bmatrix}$$

(en realidad es separable y se aplica por filas y columnas)

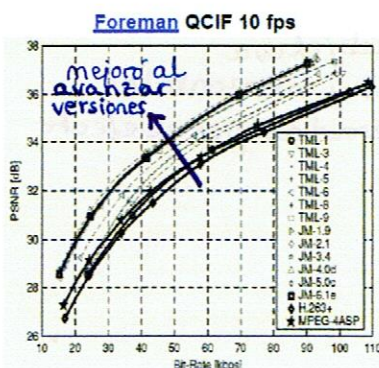
sumas/restas/desplazamientos/coef. enteros  
- menor coste computacional  
- menor correlación en el residuo  
- menor ruido mosquito
- Además, en el tipo Intra 16x16, al resultado de la DCT se le aplica una NUEVA transformada para comprimir aún más la información



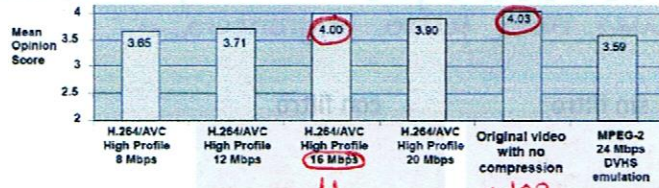
Codificación entropíca:

- Se usa codificación entropíca adaptativa (estadística no estacionaria)
- 3 métodos:
  - UVLC (Universal VLC)
  - CAVLC (Context Adaptive VLC)
    - más rápido pero comprime menos
  - CABAC (Context-Based Adaptive Binary Arithmetic Coding)
    - más costoso, utiliza codificación aritmética

## AVC: resultados video



- Comportamiento perfil High
  - Mejoras de calidad subjetiva
  - Evaluación Blue-Ray Disk Association (BDA) [4]



- Calidad superior a MPEG-2 24 Mbps con 8 Mbps
- Calidad indistinguible del original con 16 Mbps
- Nivel 3 adecuado para HD según BDA (< 8 Mbps)

## AVC: Productos Hardware y Software

### Adopting Bodies and Consortia

- 3GPP and 3GPP2 mobile environments
- ARIB (Japan), DMB (Korea), DAB (Europe), and DVB (Europe) broadcast standards
- AVC Alliance, IMTC, and MPEGIF promotional organizations
- Blu-Ray Disc Association and DVD Forum high-definition storage formats
- IETF audio-video transport real-time protocol payload packetization
- ITU-R broadcast and professional usage standards and ITU-T real-time multimedia conferencing systems
- MPEG storage file format and multiplex system standards
- NATO military specifications, etc.

### Productos Hardware

- Mobile phones by Nokia, Samsung, LG, etc.
- Broadcast HD encoders by Harmonic, Modulus, Scientific Atlanta/Cisco, Tandberg TV, Tutz Systems, Thomson, etc.
- Direct-broadcast satellite deployments by BSkyB, DirectTV, Dish Network, Euro1080, Premiere, and ProSiebenSat.1.
- All HD DVD and Blu-Ray Disc players
- The Sony Playstation Portable and Apple iPod portable media player devices, etc.

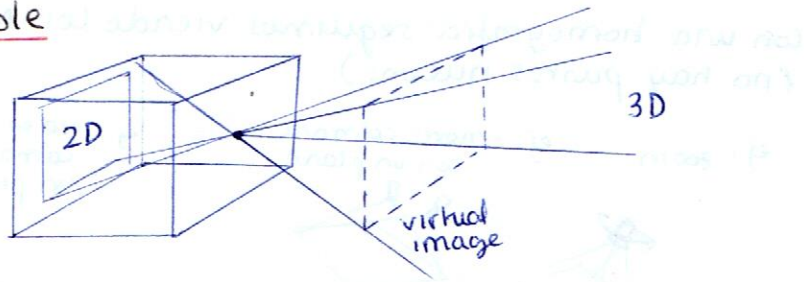
### Productos Software

- Media coder/player software packages, including Apple Quicktime, Cyberlink, Nero Digital, etc.
- DSP implementations for various processors
- Hardware accelerators for PC software decoders using graphics processing units (GPUs) by ATI, nVidia, etc.

- Tipos de receptores
  - Handheld: caben en la mano
    - Teléfono móvil
    - PDAs
    - Vídeo-consolas portátiles
  - Portátiles: grandes con baterías
    - Pantallas planas TV
    - DVDs con pantalla
    - Ordenador portátil
  - Integrados en vehículos: distintos tipos imágenes
    - Información
    - Actualizaciones mapas, tráfico, carreteras

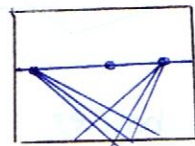
## AVC: Ejemplo DVB-H



Modelo pinhole

Dirección en un plano  $\leftrightarrow$  punto de fuga

todo un plano  $\leftrightarrow$  linea de horizonte  
(conjunto de puntos de fuga)

Coordenadas homogéneas

Representan los puntos de un plano bidimensional con 3 coordenadas!

Punto en

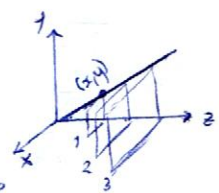
coordenadas  $(x, y)$   
'normales'

Punto en

coordenadas  
homogéneas  $k \cdot (x, y, 1)$

cualquier  
valor

en realidad representa  
el vector de la linea 3D  
que en pinhole se convierte  
en un punto

Transformación lineal en coordenadas homogéneas

$$\begin{pmatrix} x_1 \\ y_1 \\ z_1 \end{pmatrix} = \begin{pmatrix} h_{11} & h_{12} & h_{13} \\ h_{21} & h_{22} & h_{23} \\ h_{31} & h_{32} & h_{33} \end{pmatrix} \begin{pmatrix} x_1 \\ y_1 \\ z_1 \end{pmatrix}$$

en realidad  
tiene 8 grados  
de libertad

ya que  $\begin{pmatrix} \dots \\ \dots \end{pmatrix} = k \cdot \begin{pmatrix} \dots \\ \dots \end{pmatrix}$

Relación de homografía:

- cómo se ve un plano en una cámara
- dada la imagen de un plano en una cámara, ¿cómo se vería el plano desde OTRA cámara?



ej: mirar desde arriba

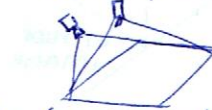
¿Cómo saber si una transformación es HOMOGRAFÍA?

Con una homografía seguimos viendo los MISMOS puntos  
(no hay puntos nuevos)

Ej: zoom

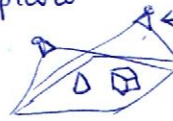


Ej.: mover cámara con un plano



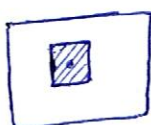
- ó cambiar la dirección de apuntamiento

Ej.: NO es homografía mover cámara si no hay sólo un plano

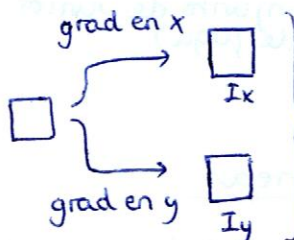


Puede ver objetos por detrás!

### Detección de bordes



Para cada pixel cogemos una ventana



$I_x^2$

$I_x \cdot I_y$

$I_y^2$

$$C = \begin{bmatrix} \sum I_x^2 & \sum I_x I_y \\ \sum I_x I_y & \sum I_y^2 \end{bmatrix}$$

Sumatorio en todos los pixeles de la ventana

Umbral de Harris

Por ser C simétrica, puede convertirse en matriz diagonal sin más que hacer una rotación

$$C = R^{-1} \begin{bmatrix} \lambda_1 & 0 \\ 0 & \lambda_2 \end{bmatrix} R$$

Si  $\lambda_1$  y  $\lambda_2$  son grandes, el pixel es una esquina

Si sólo  $\lambda_1$  o  $\lambda_2$  es grande, el pixel es un borde

El determinante y la traza son invariantes con la rotación

$$\det C = \lambda_1 \lambda_2$$

$$\text{tr } C = \lambda_1 + \lambda_2$$

Por tanto no hace falta efectuar la rotación.

Podemos obtener  $\lambda_1$  y  $\lambda_2$  directamente con  $\det C$  y  $\text{tr } C$



→ Método Harris:

$$c_{\text{im}} = \frac{\det C}{(\sum I_x^2 \cdot \sum I_y^2 - (\sum I_x \cdot I_y)^2)} - k (\sum I_x^2 + \sum I_y^2)^2$$

↑  
o filtro gaussiano

coger cada pixel de  $c_{\text{im}}$  y sustituirla por el máximo en un cierto radio

$$\text{sze} = 2 * \text{radius} + 1$$

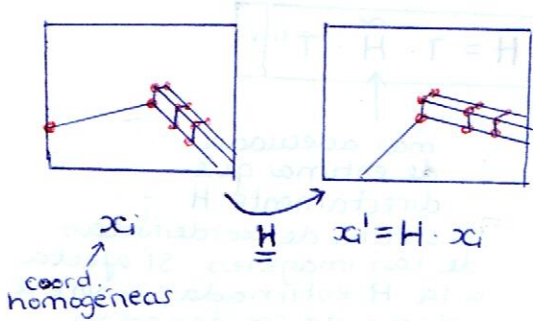
$$\text{numpix} = \text{sze} \cdot \text{sze}$$

$$m_x = \text{ordfilt2}(c_{\text{im}}, \text{numpix}, \text{ones}(\text{sze}))$$

encontramos máximos locales con

$$c_{\text{im}} = m_x$$

## Estimar homografía



Una vez eliminados los outliers → claramente se cumple:

$$x_i \cdot H x_i = 0$$

↑  
producto vectorial entre 2 cosas iguales

sistema de 3 ecuaciones

(sólo 2 independientes)

por de momento busquemos las 9 incógnitas con 9 ecuaciones  
↓  
las soluciones podrán tener un factor de escala

Necesitaré 4 puntos (8 ecuaciones) para estimar los 8 grados de libertad de  $H$

Sistema

$$A \cdot h = 0 \quad [9 \text{ ecuaciones} \rightarrow 8 \text{ independientes}]$$

con 9 incógnitas - 8 grados de libertad

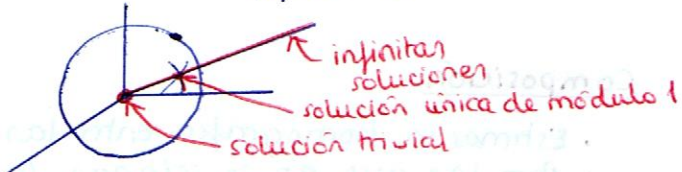
range = 8      ↓ solución trivial      ↓ soluciones al sistema (infinitas)

↓ todos los múltiplos de  $h$

Problema: al añadir puntos infinitos más el origen, el rango de  $A$  se hace 9 → única solución trivial ( $h=0$ )

$\#(\text{puntos}) = 9$

Solución: Exigir  $\|h\|=1$  espacio 9D

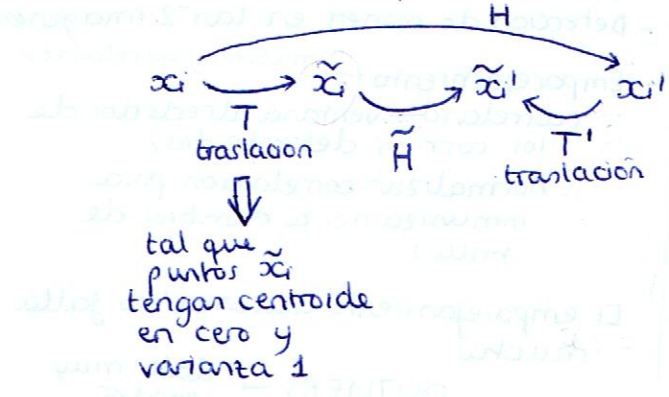


Se puede demostrar que la solución corresponde al autovector correspondiente al menor autovalor de  $A^T \cdot A$

corresponde a minimizar por mínimos cuadrados

en la página

Al estimar  $H$  interesa que el centroide de  $x_i$  y  $\tilde{x}_i$  sea el origen



$$H = T \cdot \tilde{H} \cdot T'^{-1}$$

más adecuada de estimar que directamente  $H$

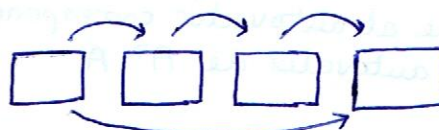
(el sistema de coordenadas de las imágenes sí afecta a la  $H$  estimada; conviene sistema de coordenadas centradas)

### Estima de los parámetros (sabiendo que pueden haber OUTLIERS)

- M-estimadores:
    - pondera por valores bajos los puntos con más error
    - funciona bien sólo si hay pocos outliers y con error pequeño
  - RANSAC:
    - Tomar una muestra (mínimo nº de puntos para estimar el modelo)
      - ↳ Estimar el modelo a partir de esa muestra (tomada aleat.)
    - Mirar cuál es el SUPPORT / APOYO del modelo calculado como el nº de puntos por debajo de una distancia  $t$  del modelo (consensus set)
    - Repetir para  $k$  muestras y seleccionar el modelo de mayor SUPPORT
    - Podemos descartar los outliers de ese modelo y ahora aplicar mínimos cuadrados a los inliers
- cuánto? según el número de outliers frente a inliers  
con probabilidad:
- Probabilidad de todas las puntos de una muestra ser inliers es  $w^n$
  - La probabilidad de que tras coger  $k$  muestras al menos una tenga todos los puntos inliers es  $p = 1 - (1-w^n)^k$

### Composición

- Estimar la homografía entre las fotos que se solapan
- Para las que no se solapan, la homografía puede obtenerse como composición de las homografías de las fotografías intermedias



### Blending

- Promediar pixeles para que no se noten los 'costurones'

Nota: los costurones se notan más en las zonas de baja frecuencia (ejemplo: cielo), mientras que los promediados se notan mucho en las zonas de alta frecuencia

Solución: promediado adaptativo.